

P. C. 調圧水槽の動特性

電力中央研究所 正員○岩橋徹広 増子芳夫 正員 桂井新雄
九州電力(株) 正員 永津忠治

1 要旨

九州電力㈱柳又発電所導水路調圧水槽は、高さ34.7m、内径25m、側壁厚さ1.1m~0.6m~0.5m~0.4mのFreycinet方式P.C.コンクリート構造(図1)である。本水槽は、構造的には薄肉円筒シェルに等しいと考えられ、内部の水を含めた工学系として耐震性を検討する必要が生じた。このため調圧水槽完成後、常時微動観測と全負荷遮断によるサージング時の振動性状の観測を行い、水槽の振動性状を明らかにし、本水槽の耐震性の検討に用いた動特性評価方法の確認を行った。¹⁾

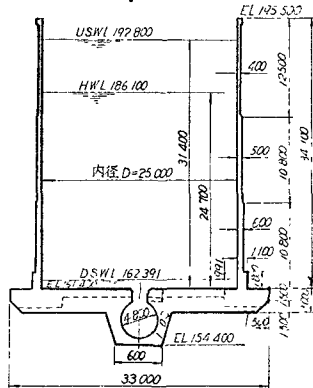


図1 調圧水槽断面図

測定のプロックダイヤグラフを図2に、観測計器を表1に示す。図3に示すように、水槽の天頂、壁体部及び基礎に地震計、加速度計を設置した。そして、常時微動観測は発電中及び発電停止時の水位の変動のない平静時に行い、サージングによる振動性状の観測は、全負荷遮断($61.9\text{MW} \rightarrow 0$)直後に行った。

2 観測方法

測定のプロックダイヤグラフを図2に、観測計器を表1に示す。図3に示すように、水槽の天頂、壁体部及び基礎に地震計、加速度計を設置した。そして、常時微動観測は発電中及び発電停止時の水位の変動のない平静時に行い、サージングによる振動性状の観測は、全負荷遮断($61.9\text{MW} \rightarrow 0$)直後に行った。

3 検討方法及び検討事項

- 実測波形から振動性状を求めた。
- 自己相関関数、パワースペクトル密度から水槽の卓越振動数及び減衰定数を求めた。

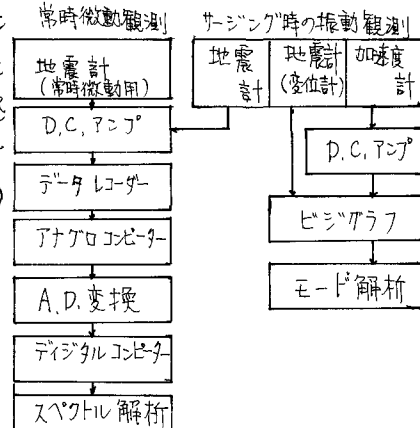


図2 測定のプロックダイヤグラフ

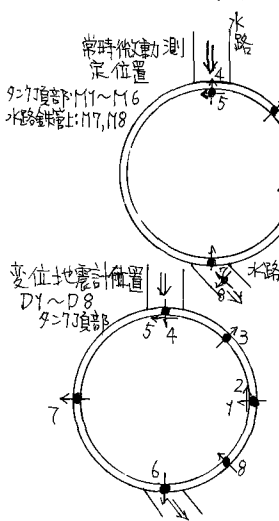


図3 ピックアップ配置図

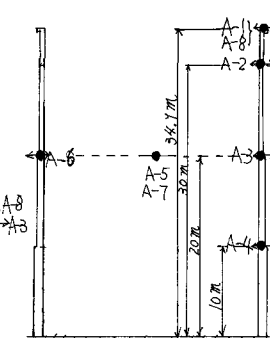


図4 加速度計位置
A-1 ~ A-8

常時微動観測	サージング時の振動観測
1 常時微動用地震計 水平8台	1 加速度計 全ゲージ式 (山A2G)
2 直流増幅器 (成分BEE) 水平8台	2 地震計 (変位計) 水平8台
3 データレコーダー	3 動力計
4 リード線	4 電磁オシログラフ
5 磁気テープ	5 オルパメータ

表1 観測計器

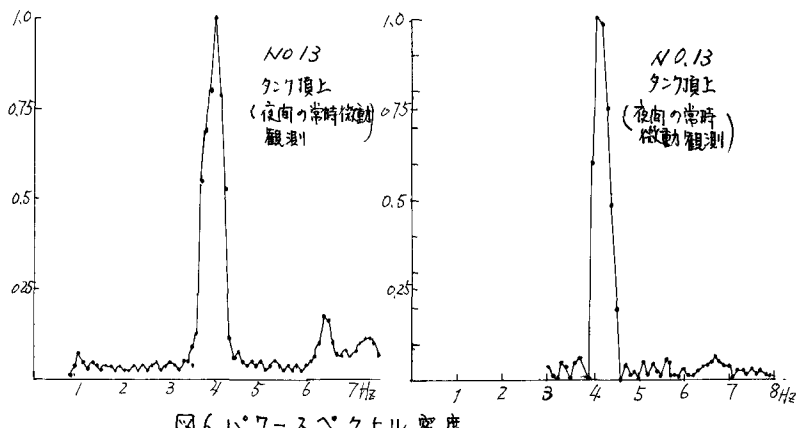
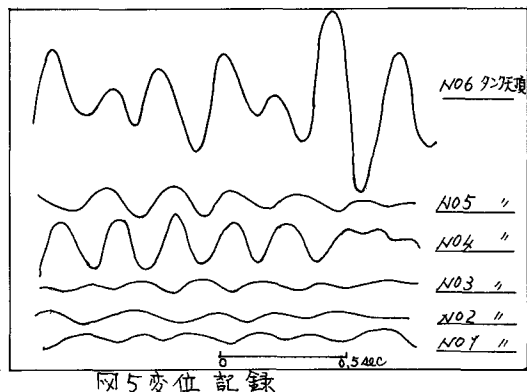
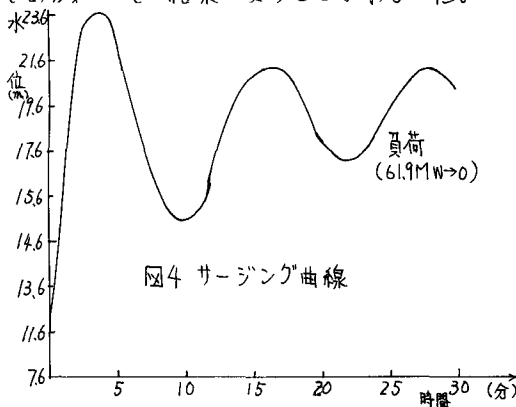
(3) 回転体応力問題としての有限要素法(F.E.M.)を用いて、水槽の固有振動数(曲げせん断1次振動の固有振動数とOwalling振動(2次)の固有振動数)を計算し、実測結果との比較を行った。さらに水槽内の水位と固有振動数の関係を調べた。

(4) $\frac{1}{50}$ 模型実験により、Owalling振動(2次)の固有振動数と水位の関係を調べた。

4. 接討結果

1) 実測結果

図4、図5、図6に、サーリング曲線、全負荷遮断直後の振動の変位記録及びパワースペクトル密度の一例を示した。また図7は全負荷遮断直後の振動の加速度記録を用いて描いた水槽の振動モードである。その結果次のことがわかった。



(1) 常時微動観測(推定水位18~24m)のパワースペクトル密度から、3.7~4.3Hzに大きなピークが、6.3~6.7Hzに小さなピークが認められた。また、全負荷遮断直後(水位15~18m)のパワースペクトル密度から4.0~4.5Hzに大きなピークが、7.0~7.5Hzに小さなピークが認められた。両測定結果に差があるのは、観測時に於ける水位の相違によるものと考えられる。

(2) 全負荷遮断直後の振動は、その大部分が4.0Hz付近の振動であり、7.0Hz付近の振動は殊んど見られない。この時の振巾の大きさは天頂で最大、変位振巾(両振巾)が0.333mm、加速度振巾(両振巾)が45galまで達した。

(3) 40版付近の振動形状は、図7に示すように、円周方向に対しては、断面形状が橢円形状を呈す

るような2次振動であり、高さ方向に対しては1次振動である。したがって、遮断直後に水槽に生ずる振動は、いわゆる Owalling 振動(2次)と考えられる。

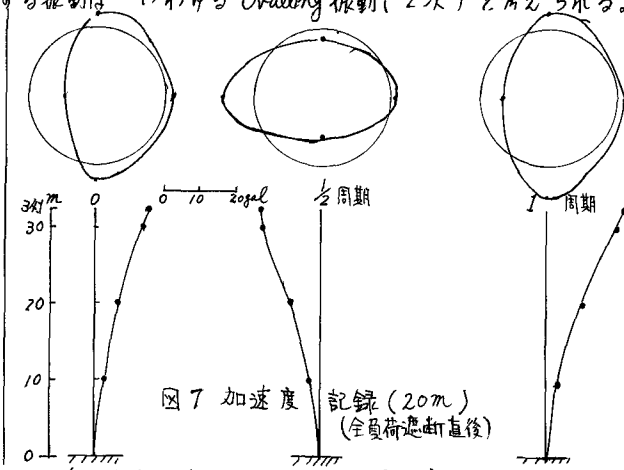


図7 加速度
記録(20m)
(全負荷遮断直後)

試料No.	振動数	自己相関関数	パワースペクトル密度
N0/3	4Hz	0.045	0.060
N0/3	4Hz	0.049	0.039
N0/3	4Hz	0.067	0.064
N0/3	4Hz	0.058	0.058
		平均 0.055	平均 0.055
N0/5	7Hz	0.106	0.01
N0/10	7Hz	0.102	0.01
		平均 0.104	平均 0.01

表2 減衰定数

(4) 自己相関関数とパワースペクトル密度により 4.0Hz 付近と 7.0Hz 付近の振動に対する減衰定数を求めた。結果を表2に示す。4.0Hz付近の振動に対しては、自己相関関数による場合とパワースペクトル密度による場合は、ほぼ近い値を示したが、7.0Hz付近の振動に対しては、大きな差があつたことは、7.0Hz付近の振動が十分に観測できなかつたためと考えられる。

2) 計算結果及び実験結果

図8、図9は、調圧水槽内の水を付加質量として、水槽の Owalling 振動(2次)と曲げせん断1次振動の固有振動数を計算し、実測結果と比較したものである。また、図10は模型実験による Owalling 振動(2次)の固有振動数と水位の関係を示したものである。その結果 次のことわかった。

- (1) 固有振動数の計算値と実測値は良好な一致を示している。
- (2) 4.0Hz付近の振動は、Owalling 振動であり、7.0Hz付近の振動は曲げせん断1次振動を示している。
- (3) 固有振動数は、水位の増加に伴い、減少する。

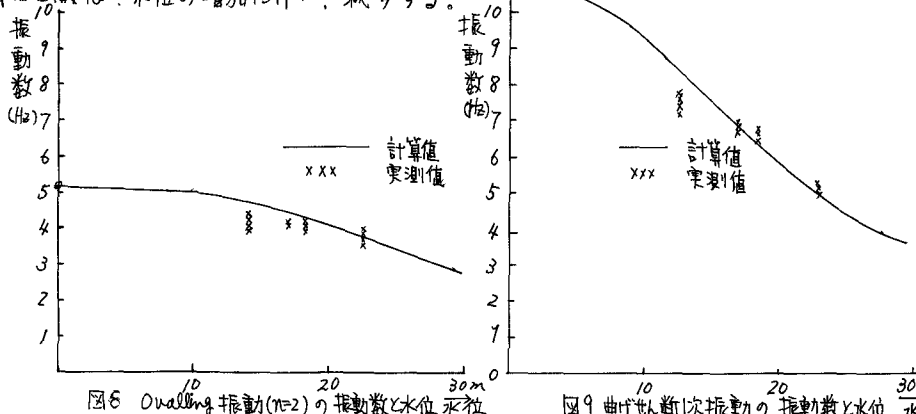


図8 Owalling 振動($n=2$)の振動数と水位

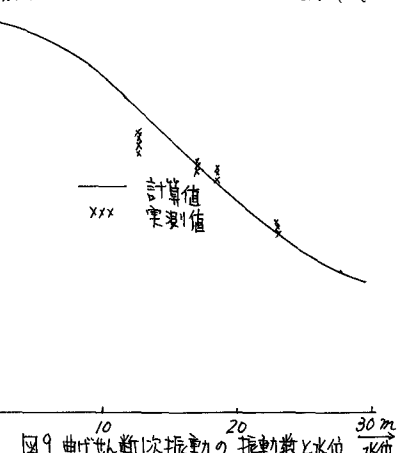


図9 曲げせん断1次振動の振動数と水位

以上のように、実測された水槽の動特性は、計算上のモデルによって正しく表わすことができたと考えられる。したがって、耐震設計に用いた諸物性値及びモデル化は適切であると考えられる。

5 その他

全員荷遮断直後の変位記録を用いて、天頂の最大変位(雨振りで 0.333mm)を入力として、Ovaling振動によつて調圧水槽に生ずる応力を算定した。その結果

最大値は半径方向応力(σ_r)が 0.17kN/m^2 、円周方向応力(σ_θ)が 0.44kN/m^2 、軸方向応力(σ_z)が 0.54kN/m^2 及びせん断応力(τ_{xy})が 0.28kN/m^2 であり、非常に小さいことかわかった。

本報告をまとめに当り、九州電力の方々に多大の尽力をうけた。ここに深甚な謝意を表します。

参考文献

- 1) 岩橋、増子、桜井、栗原、永津、吹氣「P.C.調圧水槽の耐震性の検討(第3報 柳又発電所導水路調圧水槽の常時微動観測とサーディングによる振動性状の観測)」電研依頼報告(準備中)
- 2) 桜井、栗原、岩橋、矢島「P.C.調圧水槽の耐震性の検討(第1報 柳又発電所導水路調圧水槽の静的応答解析)」電研依頼報告: 72509 1972.8
- 3) 桜井、栗原、岩橋、矢島「P.C.調圧水槽の耐震性の検討(第2報 柳又発電所導水路調圧水槽の動的応答解析)」

